

Fig. 25.2. Isócronas que representan el progreso de la consolidación de una capa ideal de arcilla bajo diferentes condiciones de drenaje y distintas formas de distribución de la presión vertical de consolidación. (Según Terzaghi y Frölich).

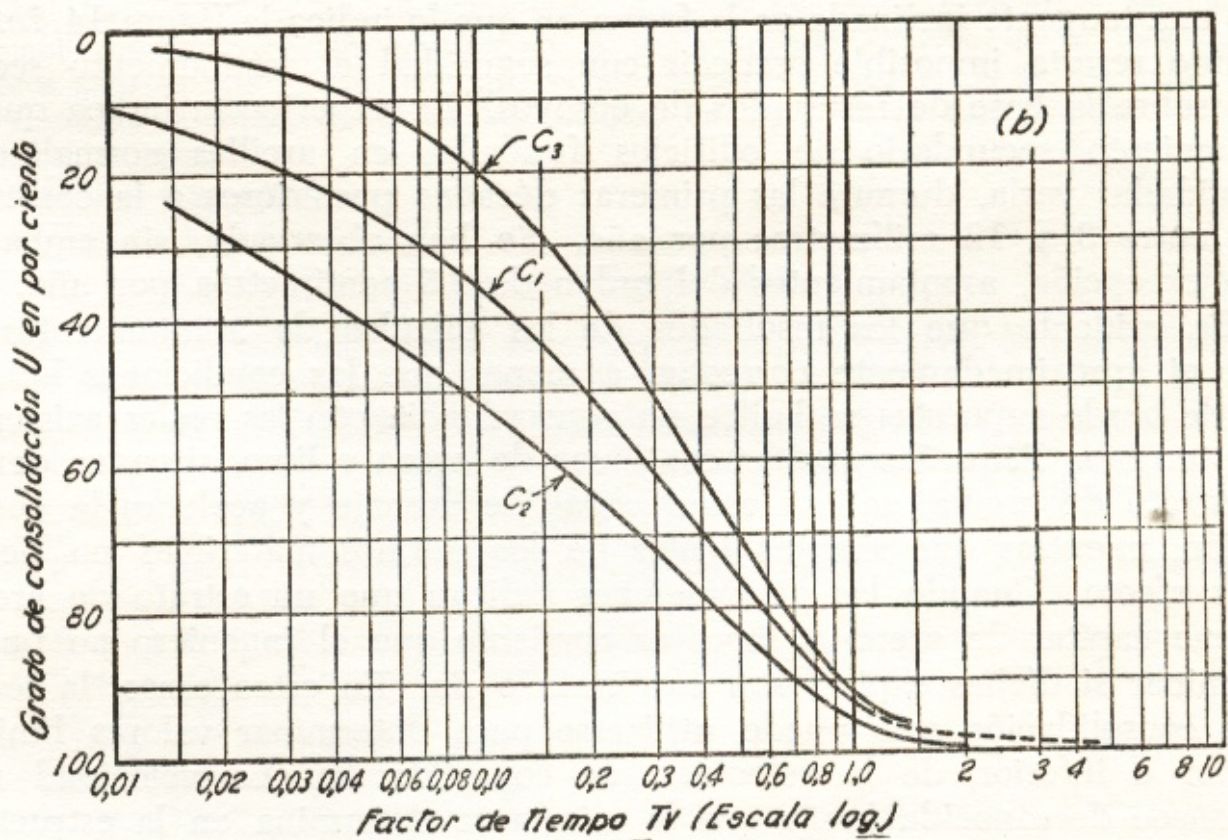
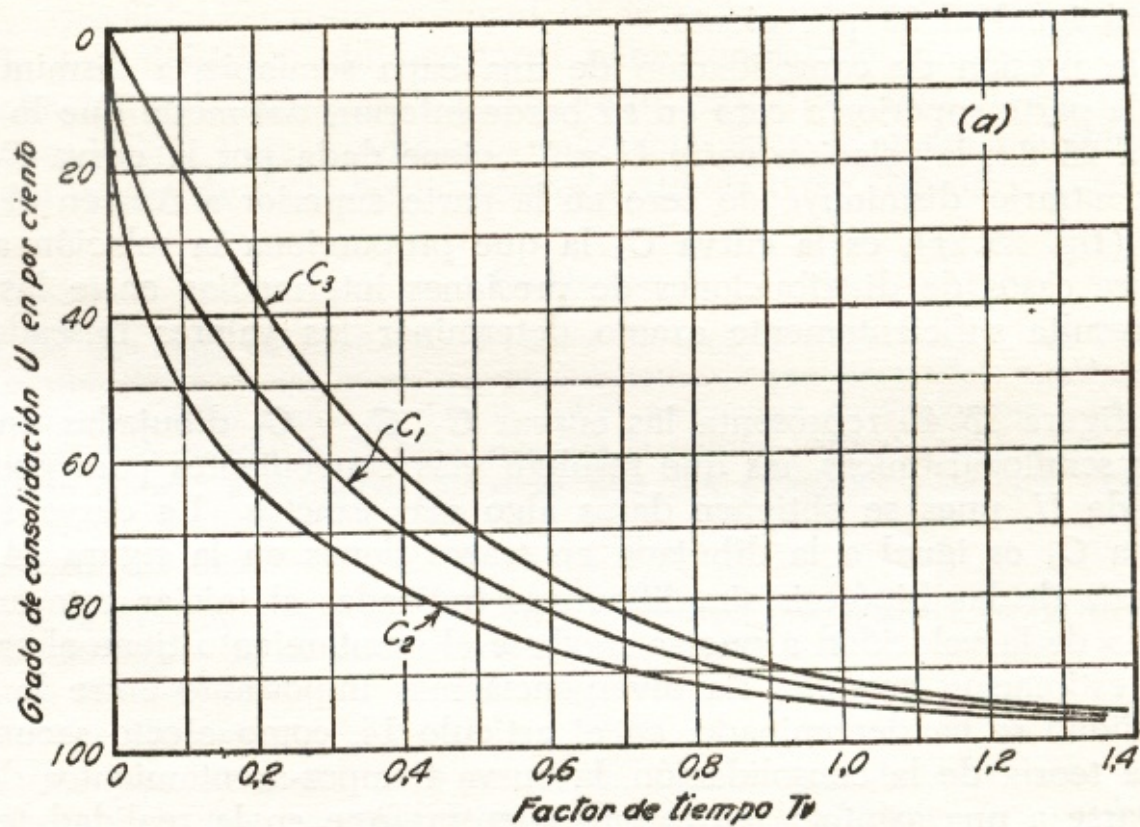


Fig. 25.4. Relación entre el factor de tiempo y el grado de consolidación. En (a) el factor de tiempo está dibujado en escala aritmética y en (b) en escala logarítmica. Las curvas  $C_1$ ,  $C_2$  y  $C_3$  corresponden a diferentes condiciones de carga y drenaje, que son, respectivamente, las de las figuras 25.2 a, d y f. (Según Terzaghi y Frölich, 1936).